

Introduction aux méthodes numériques et projet (PROJ0001):
Modélisation de la trajectoire d'une balle de tennis

Premier bachelier en sciences de l'ingénieur
Année académique 2021-2022. Travail réalisé par:

Loic Delbarre (S215072) Rafik Lourmathi (S212097)
Salman Guseynov (S216862)

Le 8 avril 2022

Contents

1	Question 1	3
1.1	méthode sécante	3
1.2	méthode de la bisection	3
2	question2	4
3	question3	4
3.1	comparaison des deux methodes	4
3.2	conception de trajectoirefilethorizontal	4
4	question4	5
5	question 5	5

1 Question 1

1.1 méthode sécante

Lors de l'implémentation de la sécante, 3 cas peuvent se présenter que nous allons analyser.

Le premier cas est celui que l'on désire, la secante converge et nous retourne un tuple contenant les coordonnées d'une racine réelle de la fonction.

Le cas suivant survient lorsque la fonction tente d'effectuer une opération impossible, en l'occurrence, on pourrait tomber sur cas où l'on essaye de diviser par 0. La fonction retourne un message d'erreur suivi d'un tuple aux coordonnées aléatoire.

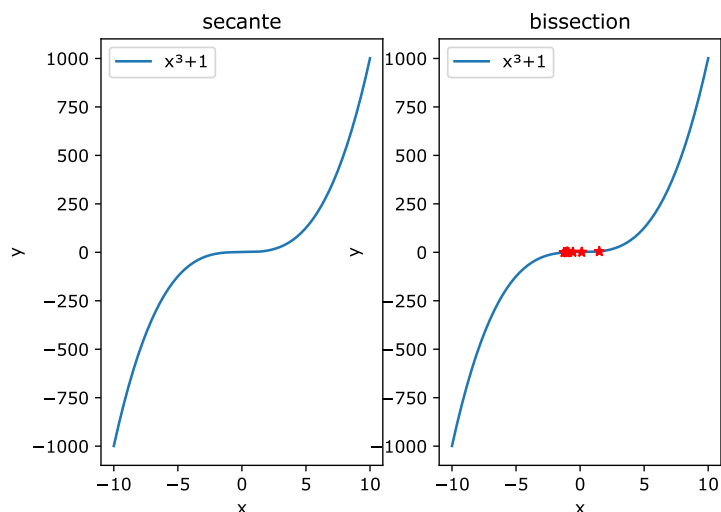
Le cas le plus problématique est celui où la fonction converge infiniment lentement voire pas du tout. En effet, la méthode de la secante ne nous permet pas d'être assuré de la convergence de la fonction. C'est pour cela que nous avons décidé d'attribuer un nombre maximum d'itération à notre boucle et conclu que si on ne trouve pas de racine après ce nombre d'itérations, la fonction ne converge pas. Nous avons décidé de fixer le nombre d'itérations maximum à 100. On se doute que la fonction représentant la trajectoire d'une balle de tennis sera plutôt parabolique donc 100 itérations devraient largement suffire. Nous pourrions mettre un nombre d'itérations inférieure à 100 cependant la complexité en temps entre 30, 50 ou 100 itérations est pratiquement identique.

Voici un exemple(ref) d'un graphique d'une fonction que l'on pourrait rencontrer lors de nos calcul de trajectoire. On remarque que avec 10 itération on atteint assez rapidement une précision satisfaisante.

1.2 méthode de la bisection

La technique de la bisection est plus efficace que la secante car elle assure la convergence lorsque les bornes sont de signes contraires et définie partout entre ses bornes. Si la fonction n'est pas convergente on aura une sortie d'erreur.

`## il y a une erreur car la fonction ne converge pas`



2 question2

Afin de regrouper les différentes constantes utilisées dans le projet, nous les regroupons sous un fichier nommé `const.py`. On remarque également la possibilité d'une mise en évidence des différentes constantes permettant d'éviter le calcul de multiplication de constantes à chaque itération (ref). On a profité de la caractéristique `dtype` des `numpy.array` pour choisir le nombre de décimales dans le calcul si besoin. Pour stocker les valeurs dans Euler, il a été plus judicieux d'allouer statiquement un tableau de la taille du nombre d'étape maximale et de le réduire lorsque l'événement (si la balle touche le sol) est produit. Dans le cas opposé lorsque l'on réaloueait un tableau à chaque itération avec `np.append` on a constaté des pertes impressionnantes de performance pour la réallocation de grands tableaux. Pour un tableau de 800000 cases, changer de technique a réduit le temps de moitié. D'une autre part nous avons implémenté l'utilisation `solve_ivp` de `scipy` au vu des valeurs par défaut et de leur précision nous avons décidé de garder les valeurs. En optant pour la valeur de 0.001 pour `rtol` et la valeur 0.000001 pour `atol`, nous avons remarqué que avec ses valeurs par défaut aucun problème ne s'est imposé donc nous avons conservé ces paramètres

$$\begin{aligned}\ddot{x} \cdot m &= F_g + F_d + F_m \\ \ddot{x} &= \rho \cdot \pi \cdot \frac{d^2}{8} \cdot \|\dot{x}\|^2 \left(\frac{C_m}{m} + \frac{C_d}{m} \right) - \frac{F_g}{m} \\ \ddot{x} &= \frac{\rho \cdot \pi}{m} \cdot \frac{d^2}{8} \cdot \|\dot{x}\|^2 \left(\frac{1}{2 + 1.96 \frac{\dot{x}}{\|w\| \cdot d}} + C_d \right) - g\end{aligned}$$

3 question3

3.1 comparaison des deux méthodes

En comparant `solve_ivp` et `euler` on se rend compte assez rapidement de la différence de temps. `solve_ivp` est instantané pour une précision de 10^{-5} alors que `euler` prend déjà 6 secondes. Et pour une précision 10 fois plus petite, `Euler` augmente drastiquement vers 60 alors que `Solve_ivp` reste instantané.

3.2 conception de `trajectoirefilethorizontal`

On a décidé de prendre un argument non obligatoire à la fonction `trajectoirefilethorizontal` pour gérer le cas où on a un rebond de façon récursive. En effet, un rebond peut être considéré comme le point de départ d'une nouvelle trajectoire. L'avantage de cette technique, c'est qu'elle permet d'être modulaire au niveau du rebond, si l'on décide de ne plus prendre en compte le rebond, on ne devra pas changer de fonction.

Les événements choisis pour l'utilisation de `solve_ivp` ont été choisis de manière analogique et non discrète car `solve_ivp` est capable d'utiliser ces résultats pour converger plus rapidement et plus précisément.

Pour le choix des événements, pour la prise en compte du filet, notre choix s'est porté sur `CubicSpline` et comme `bc_type` nous avons choisi le type `natural` pour un résultat pour

4 question4

Pour impleter les diverses fonction , au vu de la tache repetitie , nous avons decider de separer la tache en plusieurs fonction (`get_cible` `hauteur` `get_cible_rebond`) ...

5 question 5

On a pris en compte que la direction de la vitesse angulaire etait donnee en entree de la fonction. Nous decidons de calculer la hauteur pour chaque repartition avec une etape de $10e-2$. A chque etape on recalcuera la hauteur. A la fin de toutes les repartitions , on essayera de retourner la repartition qui permet de trouver la valeur h la plus elevee. Pour l etape , nous avons choisis $10e-2$. Avec $10e-2$ on fait 100 fois des tours de boucle ce qui est la valeur minimale pour avoir une valeur en pourcentage

Pour savoir la repartition de l energie on se base sur l equation suivante (ref) et on en deduit les equation suivant (ref) premettant de calculer les diferentes fluctuation.

a titre de comparaison : Vu que la variation de vitesse angulaire est inexistente , on s est permi d hardcoder des zero dans le calcul `oderhs`

